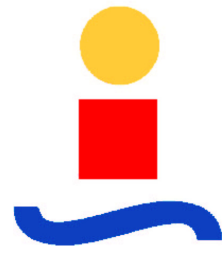




UNIVERSIDAD DE SEVILLA



E.T.S. DE INGENIEROS

***DETECCIÓN EXPERIMENTAL DEL INICIO DE  
LA ESTRICCIÓN EN PROCESOS DE  
CONFORMADO DE CHAPA***

**TESIS FIN DE MÁSTER**

Andrés Jesús Martínez Donaire

Tutor: Dr. Carpóforo Vallellano Martín

Noviembre 2009



***DETECCIÓN EXPERIMENTAL DEL INICIO DE  
LA ESTRICCIÓN EN PROCESOS DE  
CONFORMADO DE CHAPA***

**MÁSTER EN DISEÑO AVANZADO EN INGENIERÍA  
MECÁNICA**

Andrés Jesús Martínez Donaire

Tutor: Dr. Carpóforo Vallellano Martín

Departamento de Ingeniería Mecánica y de los Materiales  
Ingeniería de los Procesos de Fabricación  
Escuela Superior de Ingenieros  
Universidad de Sevilla

UNIVERSIDAD DE SEVILLA



*A mis padres y hermana,*

*A mi familia,*

*A mis amigos y compañeros*



# ÍNDICE GENERAL

|  |    |
|--|----|
| <b>1. Introducción</b>   | 15 |
| 1.1 Antecedentes   | 16 |
| 1.2 Objetivos  | 18 |
| <b>2. Revisión de metodologías experimentales</b>  | 21 |
| 2.1 El diagrama límite de conformado   | 22 |
| 2.2 Metodologías experimentales de Arrieux et al.  | 24 |
| 2.3 Metodología de Situ et al.   | 27 |
| 2.4 Metodología propuesta por Kitting et al.   | 29 |
| <b>3. Metodología ISO 12004-2:2008</b>   | 33 |
| <b>4. Metodología temporal propuesta para la detección del inicio de la estricción</b>                             | 39 |
| <b>5. Preparación experimental</b>   | 45 |
| 5.1 Montaje experimental y ensayos realizados  | 45 |
| 5.2 Técnicas de correlación de imágenes digitales (DIC)  | 51 |
| <b>6. Resultados experimentales y análisis comparativo de metodologías</b>   | 63 |
| 6.1 Ensayos sin influencia apreciable de la flexión (tipo Nakajima)  | 63 |
| 6.2 Ensayos CON influencia apreciable de la flexión  | 66 |
| 6.3 Validación de la metodología temporal propuesta en ensayos con influencia de la flexión: Método del Valle      | 69 |
| 6.4 Distribución de la deformación en los ensayos con punzón hemiesférico y cilíndrico: Existencia de un gradiente | 73 |
| <b>7. Conclusiones y desarrollos futuros</b>   | 75 |
| <b>8. Bibliografía</b>   | 79 |



# Índice de figuras

|  |    |
|--|----|
| Fig. 2-1: Esquema del DLC experimental para varios materiales  | 22 |
| Fig. 2-2: Esquemas del FLD experimental con las curvas de fallo típicas  | 23 |
| Fig. 2-3: Perfil de deformaciones principales en el instante de comienzo de la estricción  | 24 |
| Fig. 2-4: Tendencia de las rutas deformación en varios ensayos realizados por Hotz et al. (2008)   | 25 |
| Fig. 2-5: Ajustes polinómicos para la obtención de las deformaciones límite  | 26 |
| Fig. 2-6: Evolución de deformaciones $\varepsilon_1$ en varios instantes en variables absolutas (Kitting et al., 2009)                                     | 27 |
| Fig. 2-7: Evolución de deformaciones y sus derivadas temporales. Método propuesto por Situ et al. (2006)   | 28 |
| Fig. 2-8: Datos experimentales correspondientes al ensayo IV con punzón Ø100mm. Aplicación método de Situ et al.   | 28 |
| Fig 2-9: Detalle de la zona estable y de estricción  | 29 |
| Fig. 2-10: Distribución de velocidades de deformación en ensayos de stretch-bending (Kitting et al.)   | 30 |
| Fig. 3-1: Muestra de la dispersión existente en la determinación de DLC de un mismo material en distintos laboratorios (Hotz et al., 2008)                 | 33 |
| Fig. 3-2: Montaje de ensayos tipo Nakajima (izqda) y Marciniak (dcha)  | 34 |
| Fig. 3-3: Dimensiones de punzones, matrices y parámetros en ensayos Nakajima y Marciniak según ISO 12004-2:2008  | 34 |
| Fig. 3-4: Ejemplos de geometrías de probetas para cada camino de deformación (Hotz et al., 2008)   | 35 |
| Fig. 3-5: Aplicación de la metodología ISO 12004-2:2008  | 35 |
| Fig. 3-6 Diagrama de flujo para aplicación de ISO 12004-2:2008   | 37 |
| Fig. 4-1: Desarrollo del proceso de localización en ensayo con punzón hemiesférico (izqda) y en ensayo de tracción realizado por Hotz et al. (2008) (dcha) | 39 |
| Fig. 4-2: Obtención del ancho de la zona de estricción   | 40 |

|   |    |
|---|----|
| Fig. 4-3: Detección del instante de comienzo de la estricción   | 41 |
| Fig- 4-4: Determinación de la deformación principal máxima límite   | 42 |
| Fig. 4-5: Aplicación de la metodología temporal propuesta en sus dos variantes $\varepsilon_1$ ó $\varepsilon_3$  | 43 |
| Fig. 4-6: Datos experimentales correspondientes al ensayo III con punzón cilíndrico de 10mm. Aplicación del método propuesto                                | 43 |
| Fig. 5-1: Esquema del montaje experimental con punzón cilíndrico  | 45 |
| Fig. 5-2: Punzones Nakajima Ø100mm y cilíndricos Ø10 y Ø20 mm, montaje experimental, prensa-chapas  | 46 |
| Fig. 5-3: Tipología de probetas ensayadas: tracción pura, deformación plana, zona biaxial   | 46 |
| Fig. 5-4: Dimensiones acotadas de las probetas de deformación plana (arriba) y tracción pura (abajo)  | 47 |
| Fig. 5-5: Caminos de deformación evaluados típicamente (izqda), evoluciones reales obtenidas en función de la geometría de las probetas (Hotz, 2008) (dcha) | 47 |
| Fig. 5-6: Máquina de ensayos Erichsen y sistema de medición óptico ARAMIS®  | 48 |
| Fig. 5-7: Indicación del domo del punzón, zona donde debe comenzar la fractura  | 48 |
| Fig 5-8: Probetas biaxiales con roturas fuera de la zona recomendada  | 49 |
| Fig. 5-9. Disposición de las fibras en las probetas   | 49 |
| Fig. 5-10: Tarjeta de adquisición de datos,   | 50 |
| Fig. 5-11: Probeta original y probeta con patrón estocástico aplicado   | 50 |
| Fig. 5-12: Patrón estocástico incorrecto (izqda) y patrón con buen contraste (dcha)   | 51 |
| Fig. 5-13: Determinación manual de deformaciones  | 52 |
| Fig. 5-14: Definición de las facetas y elementos de correlación   | 53 |
| Fig. 5-15: Posibles transformaciones en los elmentos  | 55 |
| Fig. 5-16: Proceso iterativo para la determinación del campo de desplazamientos   | 55 |
| Fig. 5-17. Determinación del vector desplazamiento 3D   | 56 |
| Fig. 5-18: Esquema básico del sistema óptico  | 57 |
| Fig. 5-19 Modelo de proyección considerado  | 57 |
| Fig. 5-20: Placa de calibración para el sistema ARAMIS®   | 58 |
| Fig. 5-21: Resultado de la calibración  | 59 |

|  |    |
|--|----|
| Fig. 5-22: Selección de tamaño, solapamiento de facetas y parámetros de precisión  | 60 |
| Figura 5-23. Identificación de facetas en distintos instantes  | 61 |
| Fig. 5-24: Máscara de cálculo y representación de resultados $\epsilon_1$ sobre la malla virtual empleada  | 61 |
| Fig. 6-1: Diagrama Límite de Conformado con punzón 100mm   | 66 |
| Fig. 6-2: Dependencia de la deformación mayor límite con la severidad de la flexión  | 68 |
| Fig. 6-3: Evolución del perfil de desplazamiento y derivada espacial en distintos instantes hasta el fallo. Método del Valle                     | 69 |
| Fig. 6-4: Método del Valle. Determinación de la deformación límite $\epsilon_1$ una vez conocido el instante de comienzo de la estricción, $t_3$ | 70 |
| Fig. 6-5: Representación gráfica de la estricción en ensayo II con punzón 20mm   | 71 |
| Fig. 6-6: Distribución de deformaciones en ensayo con punzón hemiesférico de $\varnothing 100\text{mm}$  | 73 |
| Fig. 6-7: Evolución de deformaciones en ensayo con punzón cilíndrico de $\varnothing 20\text{mm}$  | 74 |
| Fig. 6-8: Evolución de deformaciones en ensayo con punzón cilíndrico de $\varnothing 10\text{mm}$  | 74 |



# Índice de tablas

|   |    |
|---|----|
| Tabla 6-1. Resultados obtenidos con ensayos Nakajima y condiciones de deformación plana     | 64 |
| Tabla 6-2. Resultados obtenidos con ensayos Nakajima y condiciones biaxiales                | 64 |
| Tabla 6-3. Resultados obtenidos con ensayos Nakajima y condiciones cercanas a tracción pura | 65 |
| Tabla 6-4. Resultados usando punzón cilíndrico Ø 20 mm                                      | 66 |
| Tabla 6-5. Resultados usando punzón cilíndrico Ø 10 mm                                      | 67 |
| Tabla 6-6. Resultados incluyendo Método del Valle en ensayos con punzón cilíndrico Ø 20 mm  | 71 |
| Tabla 6-7. Resultados incluyendo Método del Valle en ensayos con punzón cilíndrico Ø 10 mm  | 72 |